

## II-115 浸出面を無視できる矩形堤体の浸透

九州大学工学部 正員 ○上田年比古

全 岐山 正常

1. まえがき 浸透性堤体の浸透流についてはこれまでにかなり多くの研究があるが、著者らは一般的堤体断面の浸透流に対する基礎的研究として、まず図-2に示すような矩形断面の堤体(以下においては堤体といふ)の下流端の浸出面が無視でき場合について、浸透流の複素ボテンシャルによる解析を行へ、この結果を実験値と比較検討した。

### 2. 浸出面に対する実験とその検討 堤体断面の上下流部

水位および堤体長によって浸出面がどのように変るかを調べるために図-1に示すような装置によって実験を行つた。

いま図-2に示してあるように堤体 $AABB'$ に対して上流側水位を $H_u$ 、下流側水位を $H_d$ 、堤体長を $2L$ 、不透水底から浸出

奥までの高さを $H'$ とする。さて $H_u, H_d, L$ を種々に変えて $H'$ を観測した。この結果を図-3に示している。 $H_u/H_d$ を一定にして $L/H_u$ を種々に変えると図-3のような曲線群がえられる。この図から明らかのように $L/H_u$ が大きくなると $H'/H_u$ にかかるらず $H'/H_u = H_d/H_u$ に近づいていく。すなわち $H'/H_u$ が与えられたとき $L/H_u$ がある値以上になると

と浸出面はほとんど生じなくなる。図-3に $H'/H_u$ がほぼ $H_d/H_u$ に近似するとみなされる $L/H_u$ または $H_u/L$ の限界値を○印で示してある。これらの値を $H_u/L$ または $L/H_u$ と $H_u/H_d$ との軸に対してplotすると図-4の○印のようになりほぼ直線にならぶ。そして浸出面をほとんど生じない堤体領域とこれを無視できないと考えられる堤体領域とに分けることができる。これを式で表わすと

浸出面が無視できるとみなされる堤体長はほぼ次のようになる。すなわち

$$\begin{cases} 0 < H_u/H_d \leq 0.5 \text{ に対して } L \geq H_u^2/2H_d \\ 0.5 \leq H_u/H_d < 1.0 \text{ に対して } L \geq 2(H_u - H_d) \end{cases} \quad \dots (1)$$

図みに、いま $H_u = 3m, H_d = 1.8m$ とすると $L \geq 2.4m$ なら

浸出面はほとんど生じない。このような堤体の例はよく見かけられると云うのである。またこの場合のような堤体については浸出面を無視した解析を行つても解析結果に対する誤差は少いものと考えられる。

### 3. 解析 図-2に示す堤体断面について国示のように $x, y$ 軸をえらぶと

$$z = x + iy \quad \dots (2) \quad \text{厳密な解析を行つためには} z \text{面上には} z = 2$$

に示してある自由水面 $A'C$ 以下の実際の浸透断面を取扱うべきであるがいま

図-1

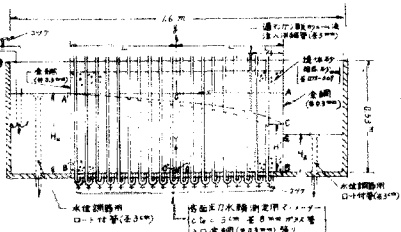


図-2



図-3

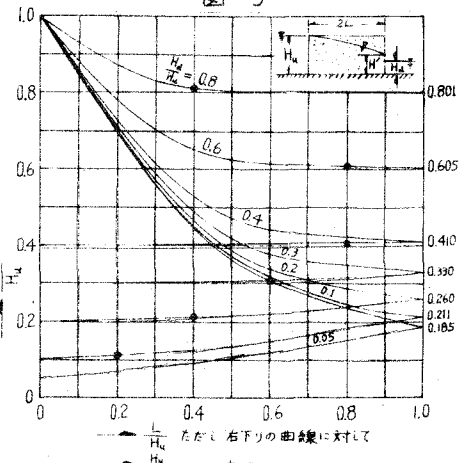
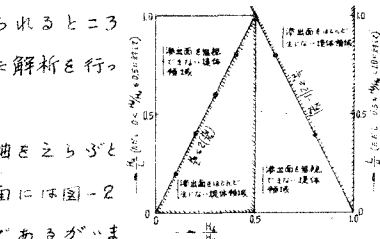


図-4



近似的に矩形  $AABB'$  を有効な浸透断面と仮定し、さらに、

図-5.  $\tau$  平面(区平面に対するもの)

$AA', AE$  線を一本の流線と仮定する。次に  $\tau$  面すなわち、

$$t = \tau + i\eta \quad \dots (3) \quad \text{を定義し複素ポテンシャルを}$$

$$w = \Psi + i\phi \quad \dots (4) \quad (\phi = \text{重は速度ポテンシャル},$$

中は流れの関数である) として、 $\tau$  および  $w$  平面を画け

ば、図-5、図-6 および図-7 がえられる。したがって区および  $w$  面の写像関数は Schwarz-Christoffel の定理によつて、 $\Psi = M \int \frac{1}{\sqrt{(-1-t)} \cdot \sqrt{(-m-t)} \cdot \sqrt{(m-t)} \cdot \sqrt{(1-t)}} dt \dots (5)$   $w = N \int \frac{1}{\sqrt{(-1-t)} \cdot \sqrt{(-m-t)} \cdot \sqrt{(e-t)} \cdot \sqrt{(i-t)}} dt \dots (6)$

ここで、 $M, N, m$  および  $e$  の値はそれぞれ境界条件によつて定まる定数である。(5) および (6) 式の積分は区面および  $w$  面の各境界にそつて実行すると次の条件式がえられる。すなわち、

$$\frac{H_0}{L} = K(m')/K(m), \quad M = -L/K(m), \quad N = \rho v (H_0 - H_a)/K(e), \quad \Psi = \frac{N}{\gamma} \cdot K(K') \quad \dots (7)$$

$$= 1 = m^2 = 1 - m'^2, \quad \kappa^2 = 2(m+e)/(1+m)(1+e), \quad K'^2 = 1 - \kappa^2, \quad \nu = \sqrt{(1+m)(1+e)}/2 \quad \dots (8)$$

であり、 $\rho$  は透水係数、 $v$  は単位巾当り流量、 $K(m)$  の標示は  $m$  を母数とする第一種完全橿円積分である。また  $e$  の値は区面の  $AB$  線にそつて (5) 式の積分から、 $y_e = M \cdot F(\theta_e, m')$ 、 $t_e = m/\sqrt{1-m'^2 \sin^2 \theta_e} = e \dots (9)$  ( $e = F(\theta, m)$  の標示は  $e$  を母数とする第一種橿円積分である) となり  $H_0/L$  を与えると (7) 式から  $m^2 (= 1 - m'^2)$  が決まり、 $M$  も決まる。また区底の  $\tau$  の値  $y_e$  を与えると (9) 式から  $e$  に対する  $e$  の値が決まり、(8) 式から  $K'^2 (= 1 - \kappa^2)$  および  $\nu$  の値も決まりから全ての未知定数が決定される。次に底面  $BB'$  線にそつて速度ポテンシャルは次のようになる。すなわち区面の  $B'0'$  および  $B0'$  線にそつての (5) 式の積分から  $0'B'$  線上について  $\Psi = -L - M \cdot F(\theta, m) \dots (10)$ 、 $B0'$  線上について  $\Psi = L + M \cdot F(\theta, m) \dots (11)$

$$\text{ただし } t = \pm \sqrt{1 - m^2 \sin^2 \theta} / \cos \theta \quad \dots (12) \quad \text{ここで (12) 式の複号のうち (+) は (11) 式、(-) は (10) 式に対するものである。} \theta (0 \sim \pi/2) \text{ を } 3 \sim 4 \text{ に変えるとこれに対応する } \Psi \text{ および } \tau \text{ の値がわかれり、次にこれらとの } \Psi \text{ および } \tau \text{ に対する速度ポテンシャルは } w \text{ 面の } B'0' \text{ および } B0' \text{ 線にそつての (6) 式の積分から}$$

$$0'B' \text{ 線上について } \Psi = \rho H_0 - \frac{N}{\gamma} \{ K(K) - F(\theta, K) \} \dots (13), \quad B0' \text{ 線上について } \Psi = \rho H_a + \frac{N}{\gamma} \cdot F(\theta, K) \dots (14)$$

$$\text{ただし } \sin \theta = \sqrt{(1+e)(1-t)} / \sqrt{2(e-t)} \quad \dots (15) \quad \text{で与えられる。}$$

4. 実験による検討 以上の解析による理論値と実測値との比較検討を行つたため図-8 に示す断面について実験を行つた。これについて行つた理論値と実

測値とを同図に示してある。これによると、まず底面の圧力水頭について理論値と実測値とはよく一致してある。次に自由水面の実測値は底面の圧力水頭にはほとんど一致してある。したがつて浸出面を無視できる

場合は底面の圧力水頭が自由水面を代表でまるものと考えられる。次に流量については実験によつた相原砂の透水係数は  $\kappa = 0.35 \sim 0.40 \text{ cm/s}$  程度であり、これを利用して計算した理論流量と実測流量はほぼ一致している。

5. まとめ 本解析では堤体の上側および下流側水面上部の側面を一本の流線とすと大まかに仮定があるが、この仮定は実測値との比較の結果、底面の圧力水頭、また流量についてはたいして影響はない、また自由水面は底面の圧力水頭で充分代表しうる。したがつて、この方法によって浸出面が無視できる種々の型の堤体内の浸透流について理論的解析を進めてゆき、さらに浸出面が無視できない場合についても研究を進めてゆまた。

図-6.  $w$  平面

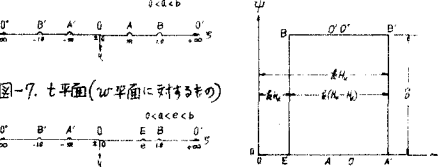


図-7.  $\tau$  平面( $w$  平面に対するもの)

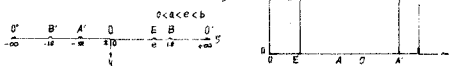


図-8. 実験による検討

